

文章编号:1004-7220(2016)01-0056-05

# V形曲力学性能的三维有限元分析

唐茜<sup>1,2</sup>,瞿杨<sup>1,3</sup>,黄思源<sup>1</sup>,何淞<sup>1</sup>,杨四维<sup>1</sup>,黄跃<sup>1</sup>

(1. 四川医科大学 口腔医学院,正畸科,泸州 6460002; 2. 都江堰市医疗中心 口腔科,成都 610000;  
 3. 重庆市沙坪坝区人民医院 口腔科,重庆 400030)

**摘要:** 目的 对不同弓丝材质、尺寸、角度、形状、托槽间距的 V 形曲进行有限元力学分析,为 V 形曲的临床应用提供理论参考。**方法** 建立两种材质(不锈钢弓丝、 $\beta$ 钛丝)、两种尺寸( $0.43 \text{ mm} \times 0.64 \text{ mm}$ 、 $0.48 \text{ mm} \times 0.64 \text{ mm}$ )、两种 V 形曲位置、两种角度( $150^\circ$ 、 $165^\circ$ )和两种托槽间距(7、10 mm)的 V 形曲有限元模型,进行模拟加载后,对比分析其力学性能。**结果** 不锈钢弓丝材质 V 形曲产生的最大作用力值均大于  $\beta$  钛材质 V 形曲, $0.43 \text{ mm} \times 0.64 \text{ mm}$  弓丝弯制的 V 形曲作用力均小于  $0.48 \text{ mm} \times 0.64 \text{ mm}$  组,对称型 V 形曲受弓丝尺寸变化更为明显,托槽间距变化对非对称型 V 形曲作用力影响更为明显。在 V 形曲形状相同时,V 形角度越小,其各托槽作用力越大。**结论** 弓丝材质尺寸、角度形状及托槽间距的改变均能影响 V 形曲力学行为。在临床应用中,可以根据托槽间距的大小,对 V 形曲弓丝材质尺寸、角度形状进行选择。

**关键词:** 有限元分析; V 形曲; 力学特性

**中图分类号:** R318.01    **文献标志码:** A

**DOI:** 10.3871/j.1004-7220.2016.01.056

## Mechanical properties of V-bends with finite element analysis

TANG Qian<sup>1,2</sup>, QU Yang<sup>1,3</sup>, HUANG Si-yuan<sup>1</sup>, HE Song<sup>1</sup>, YANG Si-wei<sup>1</sup>, HUANG Yue<sup>1</sup>

(1. Department of Orthodontics, Stomatology Hospital, Sichuan Medical University, Luzhou 646000, Sichuan, China; 2. Department of Stomatology, Medical Center of Dujiangyan, Chengdu 610000, China; 3. Department of Stomatology, the People's Hospital of Shapingba in Chongqing, Chongqing 400030, China)

**Abstract: Objective** To analyze the mechanical properties of V-bends with different materials, sizes of arch wires, angles, shapes, inter-bracket distances by using finite element method, so as to provide references for clinical practice of V-bends. **Methods** The finite element models of V-bends were established, including two kinds of materials (stainless steel, titanium-molybdenum alloy), two sizes( $0.43 \text{ mm} \times 0.64 \text{ mm}$ ,  $0.48 \text{ mm} \times 0.64 \text{ mm}$ ), two V-bend positions, two angles( $150^\circ$ ,  $165^\circ$ ), and two inter-bracket distances(7,10 mm), so as to compare and analyze their mechanical properties after simulative loading. **Results** The maximum force values produced by V-bends with stainless steel arch wire were greater than that of V-bends with  $\beta$  titanium steel arch wire. The force produced by V-bends with  $0.43 \text{ mm} \times 0.64 \text{ mm}$  arch wire was smaller than that produced by V-bends with  $0.48 \text{ mm} \times 0.64 \text{ mm}$  arch wire. The size of arch wire had a more obvious impact on V-bends with symmetrical arch wire. The force of V-bends with asymmetric arch wire was more evidently influenced by the change of inter-bracket distance. For V-bends with the same shape, the smaller the V-shaped angle, the greater the force on the bracket would be. **Conclusions** The V-bends with different materials, different sizes of arch wires, different shapes and inter-bracket distances will have different mechanical behaviors. In clinical application, the materials, sizes of arch wires, shapes and angles of V-bends should be adjusted properly according to the inter-bracket distances.

**Key words:** Finite element analysis; V-bend; Mechanical properties

收稿日期:2005-07-14;修回日期:2015-10-15

基金项目:国家自然科学基金项目(81300903),厅、市、校联合基金(2014TSX-0060),四川省科技厅国际合作项目(2012HHZ001),川人社办发〔2015〕93号(编号31)。

通信作者:黄跃,副教授,E-mail: yue-huang@ hotmail. com。

在现代固定正畸治疗中,正畸医生通过在弓丝上设计各种弯曲从而控制牙齿移动。在临幊上,通常单独或组合应用各种基本曲使矫治力到达理想水平。其中,V形曲作为基本曲在正畸治疗中应用广泛,可根据其位置及作用不同分为后倾曲、屋顶曲以及前牙曲的艺术曲等。因此,研究V形曲的生物力学性能对合理使用矫治力、精确控制牙齿移动具有指导意义。国内外学者从不同角度对V形曲开展研究,而以往关于V形曲力学性能的研究主要是使用传统力学方法进行测量,例如:使用力学材料实验机测量镍钛及 $\beta$ 钛材质弓丝弯制的V形曲力值<sup>[1-2]</sup>。而传统力学方法测量多为静态和二维方向<sup>[3]</sup>,故需要寻找一种更为准确、直观的方法研究V形曲的力学性能。三维有限元法自1970年代以来即被广泛用于正畸生物力学方面的研究,例如:Techalertpaisarn等<sup>[4]</sup>利用三维有限元法分析关闭曲的力学性能,但应用三维有限元法研究V形曲的力学性能鲜有报道。因此,本文建立托槽-V形曲弓丝-结扎丝的三维有限元模型,利用有限元分析法明确不同托槽间距时不同角度形状、弓丝尺寸材质V形曲的力学原理,以期将试验结果用于指导临幊,为有效控制正畸力、提高疗效提供理论依据。

## 1 材料和方法

### 1.1 建立托槽-V形曲弓丝-结扎丝实体模型

利用三维建模软件ProE Wildfire 5.0软件,以Discovery<sup>®</sup>(Dentaurum公司,德国)唇侧托槽计算机辅助测量数据为参考,根据托槽尺寸、槽沟深度、预置轴倾度转矩角度等参数,建立右上领尖牙和右上领第2前磨牙托槽。两托槽槽沟尺寸均为558.8 μm。结扎丝模型直径为0.2 mm。不同形状的V形曲以V形曲顶点到15托槽中心距(a)与13、15两托槽中心距(L)的比值(a/L)表示。建立V形曲弓丝模型,两种尺寸(0.43 mm × 0.64 mm, 0.48 mm × 0.64 mm)、两种V形曲位置( $a/L = 0.50, 0.33$ )、两种角度(150°, 165°)以及两种托槽间距(7, 10 mm)相互两两组合,共计16根。将建立的托槽、V形曲弓丝以及结扎丝实体模型于ProE Wildfire 5.0中以V形曲弓丝平面为基准平面进行装配。首先,将右上领尖牙托槽及右上领第2前磨牙托槽槽沟与V形曲弓丝匹配;其后,将4个结扎丝模型分别装配在

右上领尖牙托槽及右上领第2前磨牙托槽近远中侧,完成V形曲三维模型的装配。

### 1.2 建立托槽-V形曲弓丝-结扎丝三维有限元模型

将装配好的模型导入MSC. patran软件中分组进行网格划分,划分单元类型为四面体单元,共计82 35节点、32 588单元。将网格划分完成后模型导入在MSC. Marc. Mentat 2005 R3软件进行物理参数设定。假定所建立的有限元模型为均质、各向同性的线弹性材料,将托槽、结扎丝材料均设定为不锈钢材质,V形曲弓丝设定为不锈钢(stainless steel, SS)和 $\beta$ 钛(titanium-molybdenum alloy, TMA)两种材质,托槽与弓丝之间、结扎丝与弓丝之间摩擦力因数 $\mu = 0.2^{[5-8]}$ 。托槽、结扎丝、SS弓丝、TMA弓丝的弹性模量分别为200、200、200、80 GPa,泊松比均为0.3。

### 1.3 实验模型分组

建立8组模型,第1组为0.43 mm × 0.64 mm的不锈钢弓丝,在托槽间距均为10 mm时两种V形曲位置(1-1、1-2)及两种V形曲角度(1-3、1-4)4个工况;第2组为0.43 mm × 0.64 mm的TMA丝,在托槽间距均为10 mm时两种V形曲位置(2-1、2-2)及两种V形曲角度(2-3、2-4)4个工况;第3组为0.43 mm × 0.64 mm的SS弓丝,在托槽间距均为7 mm时两种V形曲位置(3-1、3-2)及两种V形曲角度(3-3、3-4)的4个工况;第4组为0.43 mm × 0.64 mm的TMA丝,在托槽间距均为10 mm时两种V形曲位置(4-1、4-2)及两种V形曲角度(4-3、4-4)4个工况。第5~8组与第1~4组工况设计相同,只改变弓丝尺寸,即0.48 mm × 0.64 mm。共计32种工况(见表1)。因工况较多,抽取每组模型中某一组工况的有限元模型示意(见图1)。

### 1.4 载荷设定及分析项目

在有限元软件MSC. Marc. Mentat 2005 R3软件中将模型设定托槽与结扎丝为黏合关系,V形曲弓丝与结扎丝以及V形曲弓丝与托槽之间均设定为接触关系。建立坐标系以右上领尖牙为基准(X轴指向托槽近远中方向,以近中向为正,远中向为负;Y轴为牙合龈向方向,龈向为正,牙合向为负;Z轴唇舌向方向,舌向为正,唇向为负)。于V形曲弓丝右上领尖牙侧弓丝末端截面以及右上领尖牙托

表1 模型分组情况

Tab. 1 Model grouping

| 模型分组 | 工况名称 | 间距/mm | 弓丝尺寸/mm   | 弓丝材质 | V形曲角度/(°) | V形曲位位置/(a/L) |
|------|------|-------|-----------|------|-----------|--------------|
| 1    | 1-1  | 10    | 0.43×0.64 | SS   | 150       | 0.50         |
|      | 1-2  | 10    | 0.43×0.64 | SS   | 150       | 0.33         |
|      | 1-3  | 10    | 0.43×0.64 | SS   | 165       | 0.50         |
|      | 1-4  | 10    | 0.43×0.64 | SS   | 165       | 0.33         |
| 2    | 2-1  | 10    | 0.43×0.64 | TMA  | 150       | 0.50         |
|      | 2-2  | 10    | 0.43×0.64 | TMA  | 150       | 0.33         |
|      | 2-3  | 10    | 0.43×0.64 | TMA  | 165       | 0.50         |
|      | 2-4  | 10    | 0.43×0.64 | TMA  | 165       | 0.33         |
| 3    | 3-1  | 7     | 0.43×0.64 | SS   | 150       | 0.50         |
|      | 3-2  | 7     | 0.43×0.64 | SS   | 150       | 0.33         |
|      | 3-3  | 7     | 0.43×0.64 | SS   | 165       | 0.50         |
|      | 3-4  | 7     | 0.43×0.64 | SS   | 165       | 0.33         |
| 4    | 4-1  | 7     | 0.43×0.64 | TMA  | 150       | 0.50         |
|      | 4-2  | 7     | 0.43×0.64 | TMA  | 150       | 0.33         |
|      | 4-3  | 7     | 0.43×0.64 | TMA  | 165       | 0.50         |
|      | 4-4  | 7     | 0.43×0.64 | TMA  | 165       | 0.33         |
| 5    | 5-1  | 10    | 0.48×0.64 | SS   | 150       | 0.50         |
|      | 5-2  | 10    | 0.48×0.64 | SS   | 150       | 0.33         |
|      | 5-3  | 10    | 0.48×0.64 | SS   | 165       | 0.50         |
|      | 5-4  | 10    | 0.48×0.64 | SS   | 165       | 0.33         |
| 6    | 6-1  | 10    | 0.48×0.64 | TMA  | 150       | 0.50         |
|      | 6-2  | 10    | 0.48×0.64 | TMA  | 150       | 0.33         |
|      | 6-3  | 10    | 0.48×0.64 | TMA  | 165       | 0.50         |
|      | 6-4  | 10    | 0.48×0.64 | TMA  | 165       | 0.33         |
| 7    | 7-1  | 7     | 0.48×0.64 | SS   | 150       | 0.50         |
|      | 7-2  | 7     | 0.48×0.64 | SS   | 150       | 0.33         |
|      | 7-3  | 7     | 0.48×0.64 | SS   | 165       | 0.50         |
|      | 7-4  | 7     | 0.48×0.64 | SS   | 165       | 0.33         |
| 8    | 8-1  | 7     | 0.48×0.64 | TMA  | 150       | 0.50         |
|      | 8-2  | 7     | 0.48×0.64 | TMA  | 150       | 0.33         |
|      | 8-3  | 7     | 0.48×0.64 | TMA  | 165       | 0.50         |
|      | 8-4  | 7     | 0.48×0.64 | TMA  | 165       | 0.33         |

槽底板各选4点,在X、Y、Z轴3个方向均设为固定约束。加载节点为右上颌第2前磨牙托槽底板中心点,在该底板边缘各顶点选取4个节点,定义此4节点与中心点运动轨迹一致。加载方向为:加载X向

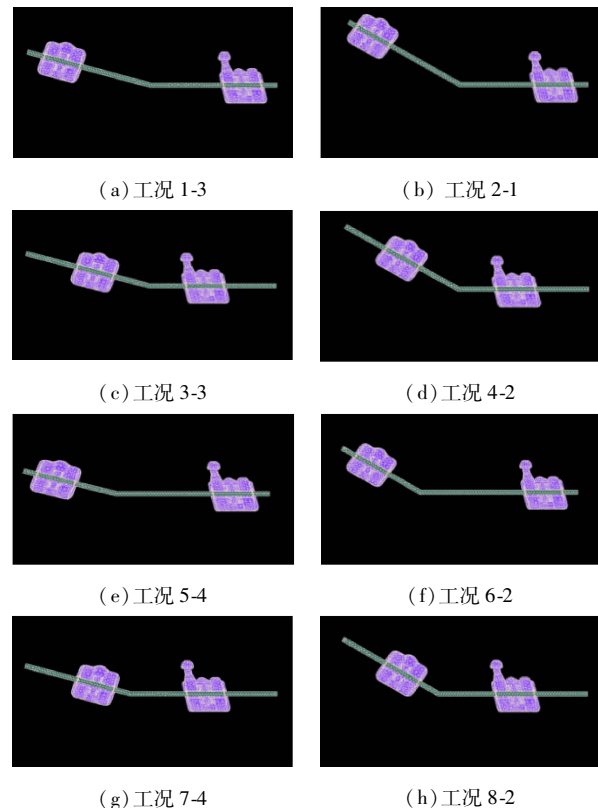


图1 每组模型其中一组工况的有限元模型

Fig. 1 Finite element model of one case in each group

- (a) The case 1-3, (b) The case 2-1, (c) The case 3-3,
- (d) The case 4-2, (e) The case 5-4, (f) The case 6-2,
- (g) The case 7-4, (h) The case 8-2

位移使右上颌尖牙托槽及右上颌第2前磨牙托槽在X轴高度一致,加载Z向旋转位移使两托槽在Z轴向平行,以模拟临床V形曲弓丝加载的力学过程。在设定完成后,对各工况分别进行计算。选取右上颌尖牙托槽及右上颌第2前磨牙托槽槽沟中心处节点,记录其所受力值,使用力值数据图的方式输出结果。

## 2 结果

### 2.1 有限元的模型建立

使用有限元分析软件,成功建立了模拟不同类型V形曲临床加载各种工况的三维有限元模型,为进一步研究正畸临幊上使用V形曲移动牙齿过程中的生物力学变化规律提供理论参考。

### 2.2 不同材质V形曲力学性能比较

不同位置及角度V形曲弓丝有限元模型加载

后,各组 SS 材质 V 形曲托槽所受作用力的最大值  $F_{max}$  均大于 TMA 材质 V 形曲;而对称型 V 形曲角度较小时,两种材质 V 形曲托槽所受作用力的最大值差异更为明显。以第 1、2 组右上颌第 2 前磨牙托槽所受作用力的  $F_{max}$  值为例说明(见图 2)。

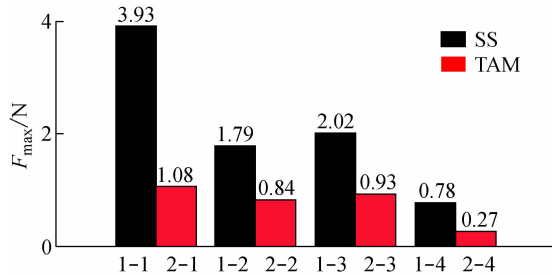


图 2 不同弓丝材质 V 形曲第 2 前磨牙所受最大力值比较

Fig. 2 Comparison of the maximum force of the second premolar produced by V-bend with different wire material

### 2.3 不同弓丝尺寸 V 形曲力学性能比较

相同弓丝材质、形状及角度以及托槽间距,不同弓丝尺寸 V 形曲有限元模型加载后,其结果表明,0.43 mm × 0.64 mm 组 V 形曲托槽所受作用力的  $F_{max}$  均小于 0.48 mm × 0.64 mm 组,对称型 V 形曲  $F_{max}$  均大于非对称性 V 形曲。以第 1、5 组右上颌第 2 前磨牙托槽所受作用力的  $F_{max}$  为例说明(见图 3)。

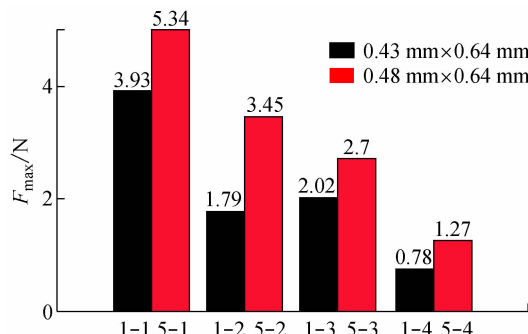


图 3 不同弓丝尺寸 V 形曲第 2 前磨牙所受最大力值比较

Fig. 3 Comparison of the maximum force of the second premolar produced by V-bend with different wire sizes

### 2.4 不同托槽间距 V 形曲力学性能比较

相同材质、弓丝尺寸、形状及角度,不同托槽间距的 V 形曲弓丝有限元模型加载后,其结果表明,托槽间距为 7 mm 模型组 V 形曲托槽所受作用力均大于 10 mm 组,以第 1、3 组右上颌第 2 前磨牙托槽

所受作用力的  $F_{max}$  为例说明(见图 4)。非对称型 V 形曲组作用力比值均大于对称组。

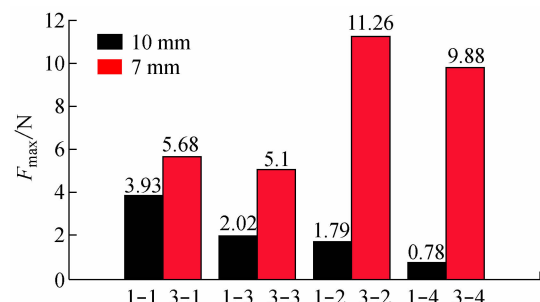


图 4 不同托槽间距 V 形曲第 2 前磨牙所受最大力值比较

Fig. 4 Comparison of the maximum force of the second premolar produced by V-bend with different inter-bracket distances

### 2.5 不同形状及角度 V 形曲力学性能比较

不同形状 V 形曲各托槽作用力的  $F_{max}$  对比结果表明,对称型 V 形曲尖牙托槽所受作用力大于第 2 前磨牙托槽受力,而非对称型尖牙托槽所受作用力则小于第 2 前磨牙托槽受力。在 V 形曲形状相同时,V 形曲角度越小,其各托槽所受作用力越大。对称型 V 形曲尖牙托槽所受作用力与第 2 前磨牙托槽受力相近,而非对称型 V 形曲尖牙托槽所受作用力小于第 2 前磨牙托槽受力。以第 1 组 V 形曲为例说明(见图 5、6)。

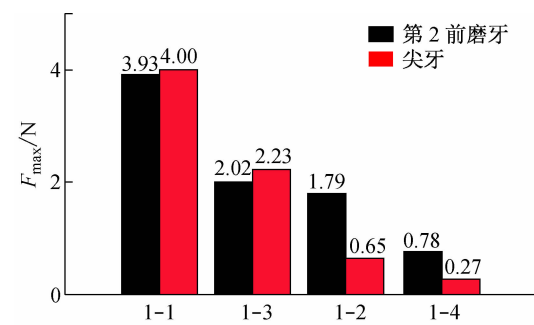


图 5 不同形状/角度 V 形曲各托槽所受最大力值比较

Fig. 5 Comparison of the maximum force of each bracket produced by V-bend with different V-bend angles/shapes

## 3 讨论

### 3.1 实验方法的选择

V 形曲在临床应用广泛,在多种矫治技术都有应用,但应用三维有限元法研究 V 形曲力学性能鲜有报道。本实验通过建立托槽-V 形曲弓丝-结扎丝

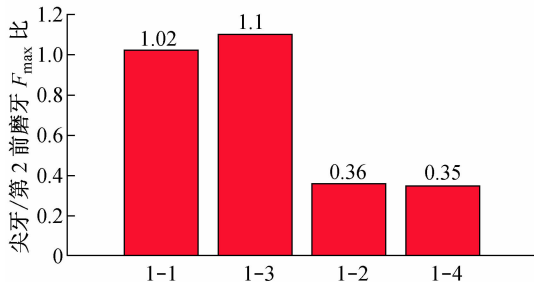


图6 不同形状/角度V形曲尖牙托槽与第2前磨牙托槽最大力值对比

Fig. 6 Comparison of the ratio of the maximum force between the canine bracket and the second premolar bracket produced by V-bend with different V-bend angles/shapes

的三维有限元模型,利用有限元分析法明确不同角度形状的V形曲,在不同托槽间距时各种尺寸材料弓丝进入托槽时力学变化。实验结果证实,三维有限元法对V形曲的研究实用可行,为临床研究V形曲提供理论依据。

### 3.2 弓丝材质、尺寸及托槽间距对V形曲力学性能的影响

V形曲作为基本曲在正畸临幊上较为常用,在患者不同托槽间距的情况下,对于其弓丝材质及尺寸的选择显得尤为重要。

本实验V形曲弓丝材质选择临幊常用的SS和TMA弓丝,TMA弹性模量小于SS,传统力学实验表明,TMA具有较好的可成形性和回弹性<sup>[9-10]</sup>。结果显示,SS弓丝材质V形曲产生的最大作用力值均大于TMA材质V形曲;进一步对比不同材质V形曲最大力值比显示,当对称型V形曲角度较小时,其比值较大,说明在对称型V形曲角度越小时,两种材质V形曲作用力差异越明显。因此,在正畸临幊上,如需使用角度较小的V形曲,可以选择弹性模量较小的TMA材质V形曲,因为其作用力较为柔和。在弓丝尺寸的选择上,本实验选择正畸临幊常用0.43 mm×0.64 mm和0.48 mm×0.64 mm弓丝尺寸,实验结果显示,0.43 mm×0.64 mm弓丝弯制的V形曲作用力均小于0.48 mm×0.64 mm组,对称型V形曲受弓丝尺寸变化影响更为明显。因此,临幊上在使用对称型V形曲时,应首先考虑到弓丝尺寸对作用力的影响。本实验根据拔除第1前磨牙的平均宽度设定托槽间距为7和10 mm。两种托槽间距V形曲产生的作用力力值比较结果表

明,非对称型组的作用力比值大于对称型组,说明托槽间距的变化对非对称型V形曲作用力力值变化的影响更为明显,故在临幊操作中应考虑托槽间距对V形曲托槽受力的影响。当托槽间距较小时,建议选用对称型V形曲,因为其作用力更为柔和。

### 3.3 V形曲形状及角度对其力学性能的影响

V形曲形状和角度对其力学性能的影响较大,故在临幊应用中对于其形状及角度的选择显得尤为重要。Kojima等<sup>[11]</sup>研究发现,使用对称型V形曲时,其尖牙倾斜量是第1磨牙的2倍。对于非对称型V形曲,其靠近V形曲顶点的牙的倾斜度和受到的力均较大。本实验结果表明,在V形曲形状相同时,V形曲角度越小,其各托槽作用力越大。在采用较小角度V形曲时,应考虑选择弹性模量较小的材质或尺寸较小的弓丝以减小作用力。对称型V形曲尖牙托槽作用力与第2前磨牙托槽作用力比值接近为1,尖牙托槽作用力与第2前磨牙相近,而非对称型V形曲比值接近0.33,第2前磨牙靠近V形曲顶点,其所受作用力约为尖牙的3倍。V形曲尖牙托槽作用力与第2前磨牙托槽作用力比值受V形曲形状影响较大,与V形曲角度关系较小。本实验结果表明,托槽离V形曲顶点越近,其受力越大,这与Kojima等<sup>[11]</sup>实验结果相似。因此,在实际正畸临幊操作中,在需要使用非对称型V形曲时,应充分考虑靠近V形曲顶点的牙所能承受的作用力,可以通过改变V形曲顶点的位置或减小V形曲角度以减小靠近V形曲顶点的牙受力的方法,避免牙体所受作用力较大产生牙根吸收等并发症。

综上所述,应用三维有限元方法研究V形曲性能有效可靠,且三维有限元方法灵活多变、效率高,能够方便地设置托槽及V形曲角度、形状等属性,值得在以后的研究中推广。

**致谢:**感谢四川医科大学口颌面修复重建和再生实验室对实验的支持。

### 参考文献:

- [1] Quick AN, Lim Y, Loke C, et al. Moments generated by simple V-bends in nickel titanium wires [J]. Eur J Orthod, 2011, 33(4): 457-460.

(下转第72页)